復旧時の要求性能を実現する コンクリートヒンジの開発と それを埋め込んだ RC 柱の正負交番載荷実験

植村 佳大1•五島 健斗2•高橋 良和3

¹正会員 京都大学助教 工学研究科(〒615-8540 京都府京都市西京区京都大学桂) E-mail: uemura.keita.3n@kyoto-u.ac.jp (Corresponding Author)

²正会員 東京セキスイハイム株式会社(〒110-0015 東京都台東区上野 4-27-3) E-mail: kento.gotou@sekisui.com

³正会員 京都大学教授 工学研究科(〒615-8540 京都府京都市西京区京都大学桂) E-mail: takahashi.yoshikazu.4v@kyoto-u.ac.jp

橋梁の危機耐性実現に向けて、設計基準外事象に対しても最低限の性能を確保できる構造技術が求められている。本研究では、復旧時のセルフセンタリング機構と余震相当の地震力に抵抗するための復元力 (0.2G 水平力程度) を有するコンクリートヒンジ構造を開発し、その構造を内部に埋め込んだ RC 柱の正負交番載荷実験を行った。その結果、コンクリートヒンジを鋼管で拘束し、内部にアンボンド高強度芯材を配置することで、セルフセンタリング機構と 0.2G 水平力程度の復元力を有する構造が実現された。またその構造の復元力特性は、ファイバーモデルにより再現可能であることを示した。そしてその構造を RC 柱内部に埋め込んだ場合、柱に多数のせん断ひび割れが発生するものの荷重低下は発生せず、内部のコンクリートヒンジの機能も維持されることを確認した。

Key Words: RC column, anti-catastrophe, concrete hinge, recoverability, cyclic loading test

1. 背景

2011年に発生した東北地方太平洋沖地震の発生を機に、「狭義の設計段階で想定していなかった事象においても、構造物が、単体またはシステムとして、破滅的な状況に陥らないような性質」という危機耐性の概念が提案されたり、この危機耐性は、「確保されるべき安全性が、設計基準外事象 (Beyond Design Basis Events) によって損なわれた場合でも、直ちに危機的な状況に陥らないようにするべき性能」と言い換えることができ、単に構造物の性能向上により地震時の被災を防ぐのではなく、被災を許容しつつ、社会へ深刻な影響を与える事象を防ぐという側面が大きいといえる。そのため、橋梁構造物の危機耐性の実現に向けた過去の耐震研究では、地震後の構造物における最低限の性能維持や破壊形態の制御に向けた検討が行われている。

例えば、豊岡ら³や布川ら³は一連の検討の中で、橋 梁構造物の倒壊方向を制御することが可能な「倒壊方向 制御構造」を提案している。また西村ら⁴は、鉛直力の みを支持する自重補償柱を橋梁に加えることで、通常の柱が鉛直支持力を失うような事象が発生した場合でも、橋梁全体としての鉛直支持性能が維持できる自重補償機構を考案している。また、従来のRC柱では、設計基準外事象に対して塑性ヒンジの更なる損傷が進行した場合、RC柱の保有性能や変形モード等の不確定性が高まってしまう。そこで筆者らがは、コンクリートヒンジの一種であるメナーゼヒンジを基部に埋め込んだ埋込メナーゼヒンジRC構造を提案している。この構造では、軸方向鉄筋の座屈発生後、柱基部のメナーゼヒンジによる構造ヒンジ機能が発現することで、基部での軸沈下・せん断ずれが防止されるとともに、基部の回転中心位置がフーチング上面に誘導される。そのため、RC柱の変形モードの不確定性が低下し、設計基準外事象に対する挙動予測が定性的に可能となる。

しかし、これらの構造により、設計想定を超える本震に対しての危機耐性を向上させることはできるものの、 構造物の更なる危機耐性向上を実現するためには、本震 後の余震への抵抗性や、その中での復旧活動等を念頭に おいた構造技術が望まれるといえる. そうした中, 石橋ら のが提案した内巻きスパイラル構造では, 軸方向鉄筋が座屈したとしても, スパイラル筋で保護されたコアコンクリートの残存により, RC 柱の復元力低下を抑制することができるため, 本震後の復旧性の観点でも優れた構造であるといえる. 一方で, この構造は, 軸方向鉄筋が破断し, スパイラル筋で保護されたコアコンクリートのみが残存した状態では, 期待する性能を発揮することができない構造となっている.

そこで本研究では、本震後の復旧性向上を目的として、 単体で復旧時の要求性能を実現できるコンクリートヒン ジ構造を開発し、その構造単体での復元力特性およびそ の破壊性状の把握に向けた、正負交番載荷実験および数 値解析を実施した。その後、開発したコンクリートヒン ジを埋め込んだ RC 柱に対し正負交番載荷実験を実施し、 その構造の性能検証を行った。

2. 提案構造について

(1) 復旧時の要求性能を実現するコンクリートヒンジ について

本研究では、中央にアンボンド高強度芯材を配置した 円形鋼管にコンクリートを充填し、その底面がコンクリートヒンジとして挙動する構造 (鋼管拘束コンクリートヒンジと呼ぶ) を開発する. その際、鋼管拘束コンクリートヒンジには、復旧時の要求性能として、下記の性能を要求する.

国外を中心に、高い復旧性を備えた柱構造として、地

震時にセルフセンタリング機構が発現するRC橋脚(セン

a) 復旧時のセルフセンタリング機構

タリング橋脚)の検討が盛んに行われており 7,8, 国内で も、建築分野を中心に、センタリング機構による残留変 位低減効果についての検討が実施されている 9. しかし, セルフセンタリング橋脚は、履歴面積の小さいフラッグ 型の復元力特性を有するのが一般的であるため、従来の RC 柱と比較して地震エネルギー吸収性能が小さく、地 震時の応答が増大するという課題があり、危機耐性実現 に向けた構造技術として適用されている例は見られない. そこで本研究では、セルフセンタリング機構と高いエ ネルギー吸収性能の両立を目的に, 「復旧時にのみセル フセンタリング機構が発現する構造」を目指す、具体的 には、地震時には柱のセルフセンタリング機構を要求せ ず、地震後の復旧時に塑性化部材を撤去する中で、セル フセンタリング機構が顕在化することを狙う. つまり, 芯材を配置した鋼管拘束コンクリートヒンジ単体にセル フセンタリング機構を要求するものの、芯材に発生する 軸力を最小限とすることで、地震時に RC 柱の復元力特

性がフラッグ型となるのを防ぐ.また本構造では、安定したセルフセンタリング機構実現に向けて、家村ら¹⁰が提案したUBRC構造に倣い、芯材に初期張力は与えず、さらに芯材をアンボンド化してひずみを高さ方向へ平滑化させることで、芯材の塑性化を防止することを狙う.

b) 0.2G 水平力相当の復元力

余震相当の地震力に抵抗するための復元力として,鋼管拘束コンクリートヒンジ単体に対して 0.2 G 水平力相当の最大復元力を要求する. ここで,コンクリートヒンジとは,コンクリート構造でのヒンジ機構を実現するための構造であるため,本来は曲げモーメントを伝達せずに軸力・せん断力のみを伝達しようとする構造である. しかし,例えばコンクリートヒンジの一種であるメナーゼヒンジ構造では,ヒンジ部のコンクリートの断面積によっては,ヒンジ部に曲げモーメントが発生することが確認されており 11), "imperfect hinges (不完全ヒンジ)"と呼ばれている 12). そのため本研究では,鋼管拘束コンクリートヒンジに曲げモーメント伝達による水平復元力を期待するものの,その構造を「コンクリートヒンジ」と呼ぶこととする.

ここで、断面中心にアンボンド高強度芯材を配置した 鋼管拘束コンクリートヒンジ構造の耐荷メカニズムを図-1に示す。図より、鋼管拘束コンクリートヒンジには、 作用軸力と芯材の引張力による付加軸力に釣り合う圧縮 反力が作用し、その反力作用位置が断面中心から偏心す ることで、鋼管拘束コンクリートヒンジの復元力が発揮 される。そのため、鋼管拘束コンクリートヒンジへの圧縮反 力の偏心量を増加させることで、芯材の変形量増加によ り芯材の軸力が増大するため、鋼管拘束コンクリートヒンジの復元力を増加させることができる。

一方で、本提案構造では、鋼管拘束コンクリートヒンジを RC 柱内部に埋め込むことを想定しているため、柱断面の大きさが制約となり、鋼管拘束コンクリートヒンジの断面積増大のみで復元力をコントロールするのには

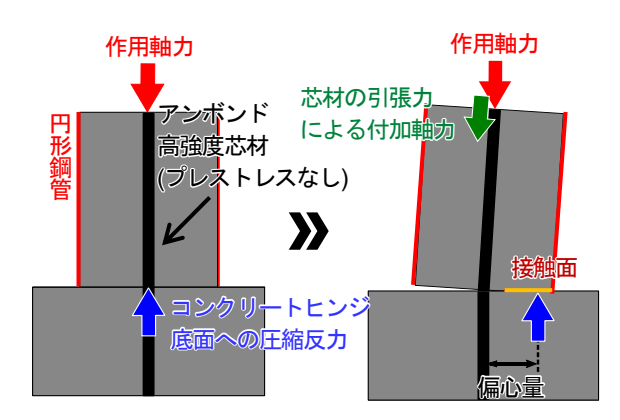


図-1 アンボンド高強度芯材を配置した鋼管拘束コンクリー ヒンジ構造の耐荷メカニズム

限度がある.しかし、鋼管拘束コンクリートヒンジは、 その断面積を増大させずとも、芯材の径やヤング率を増 大させたり、芯材の定着長を短くすることで、芯材の軸 力を増大させることが可能である.そこで本研究では、 適切な芯材の径、材料特性および芯材の固定高さを選定 して必要な芯材による付加軸力を確保し、鋼管拘束コン クリートヒンジに必要な復元力を実現することを目指す.

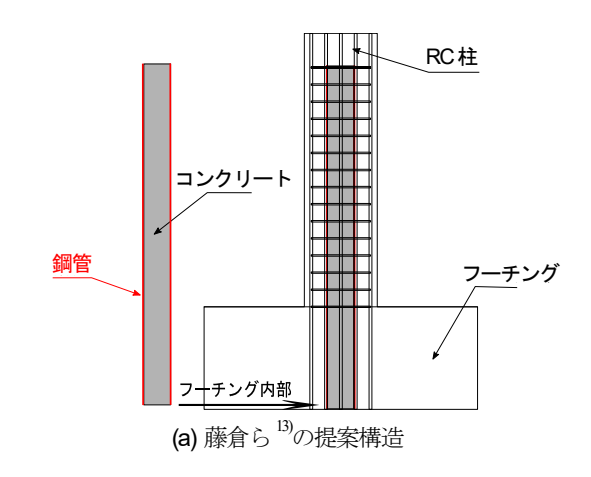
また本研究では、水平震度 0.2 が 1970 年代初頭までの 我が国の耐震設計で一般的に用いられていたという工学 的背景から、余震相当の地震力に抵抗するための復元力 を 0.2G 水平力相当の復元力と考えたが、余震相当の地 震力強さをどのように定義するかは、 議論の余地があ るといえる. しかしながら、本提案構造では、先述のよ うに配置する芯材の特性や固定位置によって、鋼管拘束 コンクリートが保有する復元力を変化させることができ るため、要求する復元力に応じた適切な構造が実現可能 であるといえる.

(2) 提案構造における鋼管の配置位置と既往研究との 相違点について

本提案構造のようにコアコンクリートを鋼管で拘束し ている構造は、過去に藤倉ら 13)が提案している (図-2(a)). 藤倉ら 13の提案構造では、鋼管をフーチング内部から柱 部にわたって埋め込んでおり、鋼管が鋼管内部のコアコ ンクリートを守ることで、大変形まで RC 柱の耐力を保 つことができる. しかしながら, この構造では, 鋼管に 引張力が作用することで鋼管が塑性化し、柱基部での鋼 管の破断が確認されている. それに対し、本研究での提 案構造では、RC 柱の変形時に鋼管が塑性化して破断し ないよう、鋼管をフーチング内部には配置せず、鋼管拘 東コンクリートヒンジの底面とフーチングの上面が一致 するよう配置することとした (図-2(b)). こうすることで, 鋼管に引張力が伝達されなくなるため、鋼管によるコン クリートヒンジの拘束効果を維持することができ、大変 形領域でのコンクリートヒンジ下端でのコンクリートの 圧壊が抑制できる.

また、本構造における鋼管と、石橋ら %が提案した内 巻きスパイラル構造におけるスパイラル筋は、その配置 位置や役割が同じであるといえる.しかし本構造では、 鋼管拘束コンクリート単体での挙動となった場合、柱基 部の回転中心が鋼管下端に確実に誘導され、それより上 部では剛体のように挙動すると考えられる.そのため、 内巻きスパイラル構造に比べ、単体(周囲の軸方向鉄筋 およびコンクリートがない状態)で挙動した際の変形モードの不確定性が小さい構造が実現できるといえる.

また本提案構造では、鋼管拘束コンクリートヒンジは 柱内部でも剛体変形することが予想されるため、それに より RC 柱の変形が拘束され、RC 柱の柱高さ 0mm の位



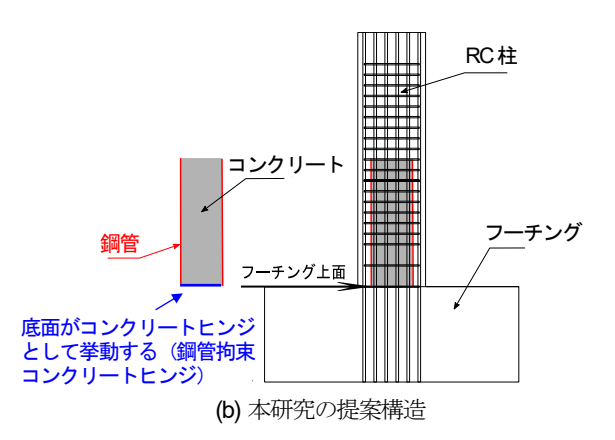


図-2 鋼管の配置位置

置に変形が集中してしまう恐れがある。そのため、本提案構造では、鋼管拘束コンクリートヒンジと周囲のRC柱は鋼管上端のみで結合し、鋼管とRC柱との付着補強を行わないことで、鋼管拘束コンクリートヒンジ部とRC柱部を分離して挙動させ、RC柱の変形が柱高さ0mmの位置に集中しないような構造とした。

(3) 鋼管拘束コンクリートヒンジ基部でのせん断ずれ の防止

筆者らは、過去の研究 5で、現行の耐震設計を満たす RC 橋脚において、軸方向鉄筋の座屈発生後に塑性ヒンジの損傷が顕著になると、柱基部でせん断変形が発生することを確認した、塑性ヒンジ部におけるせん断変形は、設計時に定量的に予測することが困難であり、設計基準外事象に対する RC 柱の変形モードの不確定性を高めると考えられる.

そこで本研究では、鋼管拘束コンクリートヒンジ単体で応答した場合でも、柱基部でせん断ずれが発生しないよう対策を施す.具体的には、鋼管下端にずれ止めせん断キーを接合することで、鋼管コンクリートヒンジ下端でのせん断ずれを防止する(図-3). その際、せん断キー前面のフーチングコンクリートが支圧破壊しないよう、せん断キーの根入れ深さおよび径を設計する.ただし、





(a) アンボンド処理前

(b) アンボンド処理後

図-3 鋼管下端に接合するずれ止めせん断キー

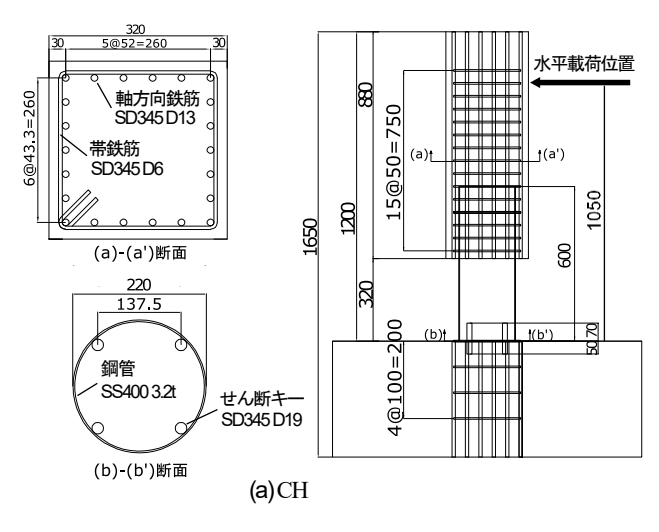
せん断キーに作用するせん断力を柱に作用する最大せん 断力(最大水平耐力)とすると、せん断キーが過剰設計と なると考えられる. これは、柱が最大耐力を示している ときは、柱基部のコンクリートおよび軸方向鉄筋は大き な損傷なく残存しているため、せん断キーに柱の最大耐 力と同程度のせん断抵抗力を要求する必要がないからで ある. そのため、せん断キーが保有するべきせん断耐力 は、柱基部のコンクリートおよび軸方向鉄筋の損傷が顕 著になったときの柱の耐力を考えるべきである. 事実, 過去の著者らが提案した埋込メナーゼヒンジ RC 構造 5 においても、せん断ずれ防止機能を期待するメナーゼヒ ンジへの作用せん断力を、最大耐力の25%と設定して設 計を行うことで, 設計基準外事象に対する柱基部のせん 断ずれを防止できることを確認している. よって, 本構 造においても、せん断キーに作用するせん断力は、柱の 最大水平耐力を適切に軽減させた値とするのが良いと考 えられる.

また、設計基準事象においてせん断キーに引張力が作用することで、鋼管へ引張力を伝達し、鋼管の塑性化を引き起こす可能性があるため、せん断キーにはアンボンド処理を施すこととする(図-3(b)).

3. 鋼管拘束コンクリートヒンジに対する正負交 番載荷実験概要

(1) 実験供試体

本実験では、CH および UBCH の計 2 体の実験供試体を製作した。CH では、芯材を配置しないときの鋼管拘束コンクリートヒンジの復元力特性および変形性能の把握を目的とする。図-4(a)に CH の断面図および側面図を、表-1に鋼材の材料特性を示す。この供試体の 1D 区間(D:断面高さ)には軸方向鉄筋とかぶりコンクリートがなく、1D 区間が露出した鋼管と鋼管内の充填コンクリートのみにより構成されている。鋼管の材料は SS400 を使用し、外径は220mm、厚さは3.2mmのものを使用した。2.(2)でも述べたように、鋼管底面はフーチング上面に合わせて配置され、鋼管上端は柱高さ 600mm となっている。なお 1D 区間以外は、筆者らが過去に実施した実験 5の標



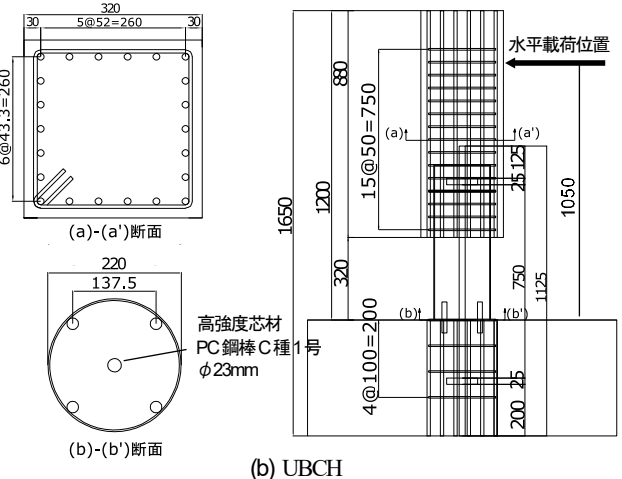


図4 供試体の断面図および側面図 (Unit [mm])

準供試体 C50-ST と同様の軸方向鉄筋および帯鉄筋の配筋となっており、軸方向鉄筋比は 2.72%、帯鉄筋比は 0.44%である。また、鋼管上端部は、図-5 に示すように軸方向鉄筋と接合した。せん断キーは、フーチングへの根入れ深さを 50mm とした SD345 D19 の鉄筋 4 本を鋼管下端に溶接した。その際、標準供試体 C50-ST の実験結果を参考に、柱基部のせん断変形が発生した時の作用水平力を、せん断キーへの作用せん断力として設計を行い、せん断キーにはアンボンド処理を施した。

また、UBCHは、鋼管拘束コンクリートヒンジとアンボンド高強度芯材を組み合わせた供試体であり、芯材による軸力付加が、鋼管拘束コンクリートヒンジの復元力特性へ与える影響について検討する。図-4(b)にUBCHの断面図および側面図を示す。芯材が配置されている以外は、CHと同様の構造を採用している。なお、芯材にはPC鋼棒C種1号を採用し、芯材径は \$23mm とした。また、芯材はフーチング内の柱高さ-250mm の位置と柱高さ550mm の位置で定着した。その際、芯材の定着位置にて、図心に芯材貫通用の円孔を設けた一辺120mm、厚さ25mmの鋼板を芯材に両側ナットで固定することで、芯材を柱内部に機械的に定着させた。

表-1 鉄角	名の材料特性	(※は規格値)
--------	--------	---------

供試体	用途	径・厚	鋼種	降伏点(N/mm²)	引張強度(N/mm²)	弾性係数(N/mm²)
	帯鉄筋	D6	SD345	413.9	592.7	2.012×10 ⁵
CH	軸方向鉄筋	D13	SD345	405.9	580.4	1.980×10 ⁵
UBCH	鋼管	3.2t	SS400	245以上※	400~510※	2.06×10 ⁵ ※
	芯材 (UBCHのみ)	φ23mm	PC鋼棒C種1号	1080以上※	1230以上※	2.0×10 ⁵ ※

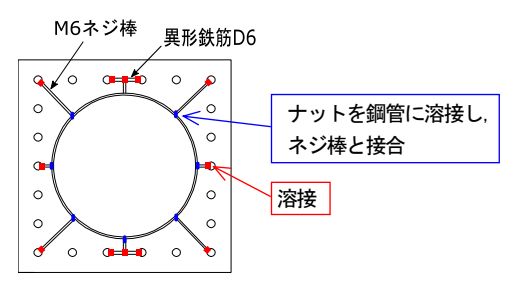


図-5 鋼管上端部における RC柱部とのの定着

コンクリートには、セメントが早強ポルトランドセメント、スランプ18cm、粗骨材の最大寸法15mmのものを用いた. コンクリートの圧縮強度は、テストピースによる材料試験の結果、CHで32.7MPa、UBCHで26.2MPaであった.

(2) 載荷方法

載荷状況を図-6に示す.載荷は正負交番載荷とし,基準振幅を 5mm として,その整数倍の変位振幅での繰り返し載荷を行った.載荷回数は,繰り返し回数を3回とした.なお,CH は変位振幅 70mm で載荷を終了し,UBCH は変位振幅 100mm まで載荷を行った.その際,UBCHでの変位振幅 70mm 以降は基準振幅を10mmとし,繰り返し回数を1回として正負交番載荷を行った.また水平載荷位置は柱高さ1050mmとし,

載荷軸応力は RC 断面部で 0.98 MPa, 鋼管拘束コンクリートヒンジ部で 2.7MPa (載荷軸力 = 100kN) とした. なお本実験では、鉛直軸力に相当する重量と地震時の水平慣性力に寄与する上部構重量が一致している状況を想定する. そのため、UBCHには0.2G水平力程度の復元力として約 20kN の復元力を期待することとする.

(3) 測定データ

供試体の各変形状態における復元力を得るため、アクチュエータに設置されているロードセルにより供試体の 載荷位置における復元力および軸力を測定し、供試体の 載荷位置における水平変位を計測するため、供試体の載 荷位置にワイヤ式変位計を設置した。また、各種鋼材の ひずみをひずみゲージにより測定した。

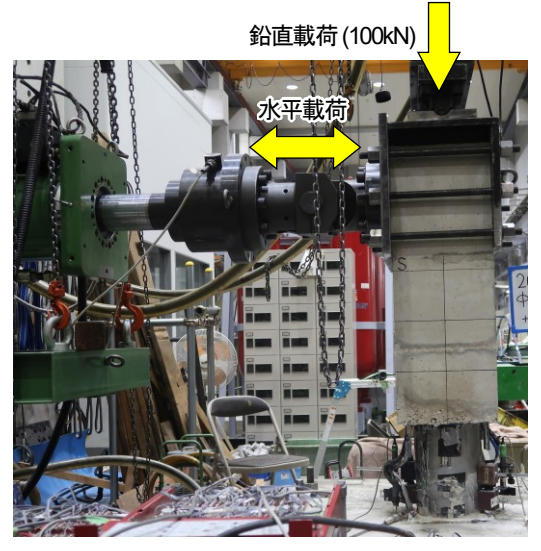


図-6 載荷状況

4. 鋼管拘束コンクリートヒンジに対する正負交 番載荷実験の結果と考察

(1) 荷重一変位関係

両供試体の荷重一変位関係を図-7に、両供試体間の履歴ループの比較を図-8に示す。CHでは、変位振幅15mm付近で最大荷重を示した(正最大荷重:8.2kN、負最大荷重:9.3kN)。変位振幅15mm以降の変形領域では、P-A効果により負の勾配を有する履歴特性が発現し、荷重低下が発生した。なお、鋼管下端に接合したせん断キーにはひずみがほとんど生じていないことを、せん断キーに添付したひずみゲージによる計測で確認している。そのため、CHが示した復元力は、作用軸力の反力として発生する鋼管拘束コンクリートヒンジ底面への圧縮力が、載荷に伴って偏心することで生じたものであるといえる。

それに対し、UBCHでは荷重低下は発生せず、約18kN の最大荷重を示した.この値は、鋼管拘束コンクリートヒンジに要求していた 0.2 G 水平力程度の復元力であることから、アンボンド高強度芯材を配置することにより、鋼管拘束コンクリートヒンジの最大荷重を 2 倍以上増加させ、結果として 0.2 G 水平力程度の復元力を発揮させることができたといえる.しかしその一方で、0.2 G 水平力程度の復元力を発揮するときの変位が大きな値となっている.そのため、余震相当の復元力を期待する際に

許容される変形量について,更なる検討を行っていく必要があるといえる. なお本実験では,鉛直軸力に相当する重量と地震時の水平慣性力に寄与する上部構重量が一致している状況を想定したが,橋梁に水平力を分担しない橋脚が存在する場合や,本構造が不静定構造を構成

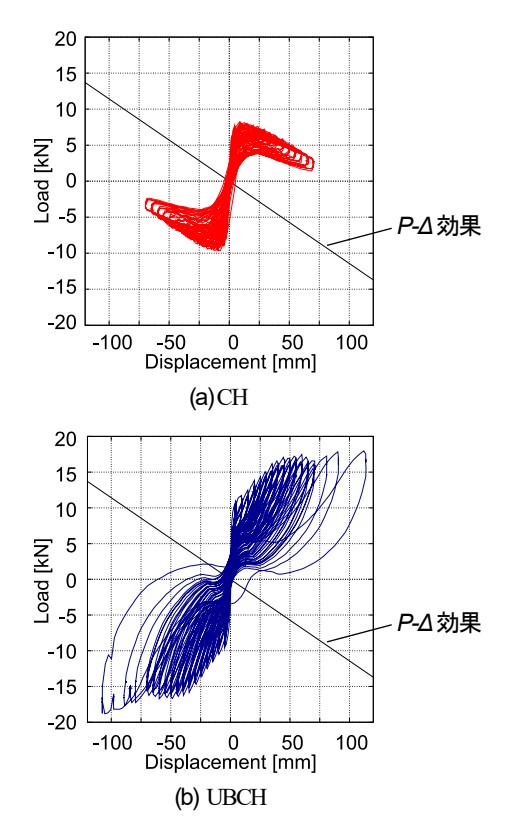


図-7 CHおよびUBCHの荷重-変位関係

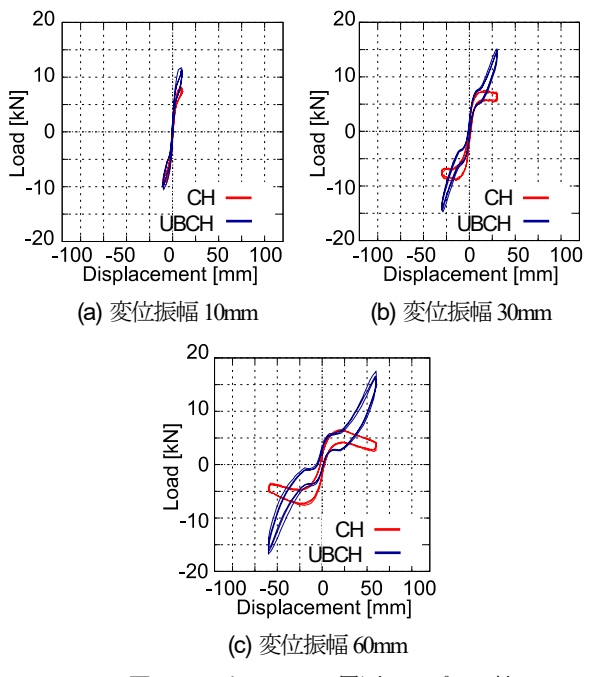


図-8 CHとUBCHの履歴ループの比較

している場合など、鉛直軸力に相当する重量と地震時の水平慣性力に寄与する重量が一致しないことも多い. その場合は、鋼管拘束コンクリートヒンジが保有すべき復元力が変化するため、それに応じて鋼管拘束コンクリートヒンジの断面積や高強度芯材の材料特性および固定高さを適切に選定する必要があるといえる.

また、図-8 を見ると、UBCHでは CHで確認されたような負の勾配を持つ履歴特性が発現しておらず、かつ履歴曲線が原点付近を通過している.以上から、UBCHでは、芯材を配置することで、安定したセルフセンタリング機構が発現していることがわかる.

(2) アンボンド高強度芯材が発揮した引張力

UBCH におけるアンボンド高強度芯材のひずみの高さ 方向分布を図-9に示す. なお, 芯材の降伏ひずみの規格 値は 5400μ であり, 芯材に貼付したひずみゲージより得られた値を平均することで, 芯材の軸ひずみを算出している(図-9). 図より, 芯材をアンボンド化したことにより, ひずみが高さ方向に平滑化されており, 芯材の変形が弾性域に留まっていることがわかる. これにより, UBCH での履歴曲線での正の剛性が保たれ, 安定したセルフセンタリング機構維持につながったと考えられる.

ここで、アンボンド高強度芯材の軸力一変位関係を 図-10 に示す. なお、芯材の軸力は、芯材に貼付したひずみゲージにより芯材断面のひずみ分布を求め、芯材の 応力一ひずみ関係を完全弾塑性バイリニアと仮定し、断面に生じている応力を積分することで算出した. 図より、芯材が発揮した引張力は、柱変位の増加に伴い増大して おり、最終的に 300kN 以上の引張力を発揮していることがわかる. そのため、UBCH に配置したアンボンド高強 度芯材は、鋼管拘束コンクリートヒンジに作用軸力の 3 倍近い軸力を付加させていたことになる. その結果、図-1に示すように、鋼管拘束コンクリートヒンジ底面に作

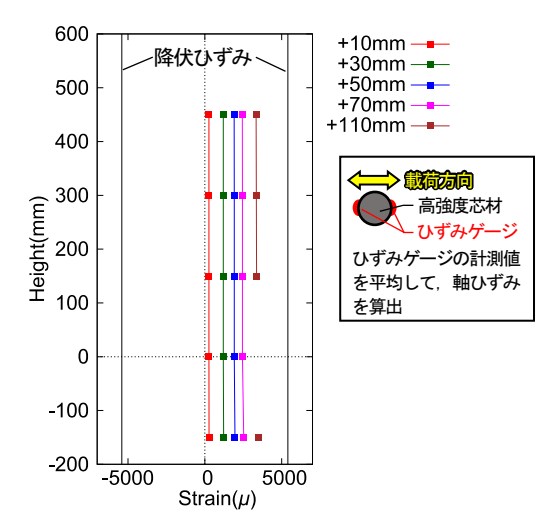


図-9 UBCHにおける高強度芯材のひずみの高さ方向分布

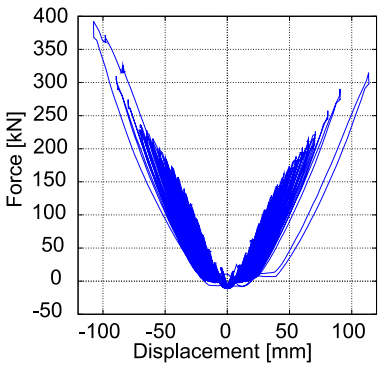


図-10 UBCH における高強度芯材の軸力-柱変位関係 (引張: 正)

用する圧縮反力が増大することにより、**4.(1)** で述べた UBCH の最大荷重の増加が実現されたと考えられる.

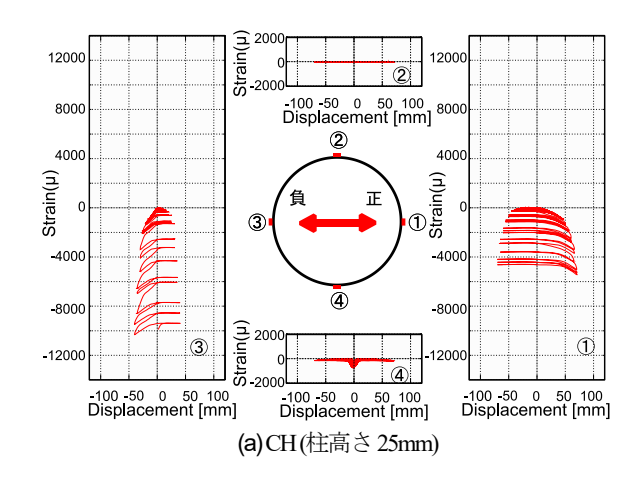
(3) 鋼管のひずみ

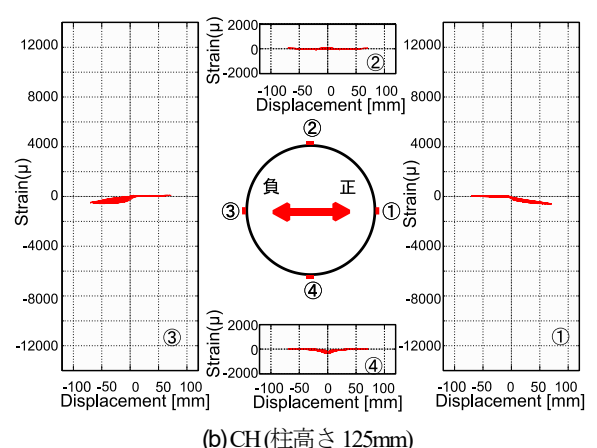
柱高さ25mmおよび125mmにおける鋼管の鉛直方向ひ ずみを図-11 に、柱高さ 25mm および 125mm における鋼 管の周長方向ひずみを図-12に示す. 本供試体では、鋼 管底面とフーチングとの縁を切ることで、鋼管に引張力 を伝達させず、鋼管の破断防止を狙っていた、図より、 両供試体ともに鉛直方向において顕著な引張ひずみは発 生しておらず、鋼管底面とフーチングとの縁を切った効 果が確認された. その一方で、柱高さ 25mm の載荷面と 載荷裏面における鉛直方向ひずみと周長方向ひずみの値 が他の箇所でのひずみと比べて増大している様子が確認 できる. これは、柱の変形に伴い、フーチング上面に接 触していた鋼管の縁に圧縮力が伝達したためであると考 えられる. また、載荷面と載荷裏面の柱高さ 25mm の位 置における周方向ひずみが、小さな値であっても柱変位 0mm のときに残留していることがわかる. これは、そ の位置の鉛直方向ひずみの影響で、鋼管が降伏している ためであると考えられる. そこで, 柱高さ 25mm におけ る鋼管のひずみ増大が、鋼管拘束コンクリートヒンジの 機能に与えた影響について、次項にて考察する.

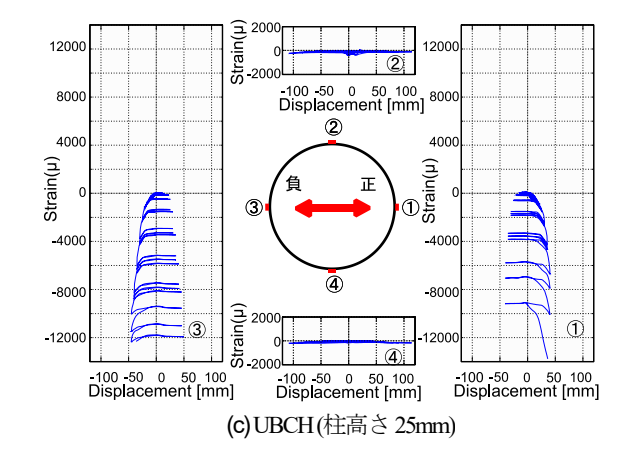
(4) 鋼管および鋼管内部のコンクリートの損傷状況

実験終了後、鋼管表面のひずみゲージを除去したのちに観察を行うと、CHの載荷面裏側における柱高さ25mm付近でわずかな座屈を確認した.一方、UBCHでは、変位振幅60mm時に底面付近での鋼管の座屈が確認され、変位振幅の増大とともに鋼管の座屈も大きくなっていった.

実験終了後,鋼管を取り除いて充填コンクリートを露出させたところ,両供試体ともに,鋼管が座屈した位置で鋼管内部の充填コンクリートにおいて一部損傷が確認されたものの(図-13),圧縮抵抗力喪失につながるような顕著なひび割れ等の損傷は確認されなかった。そのた







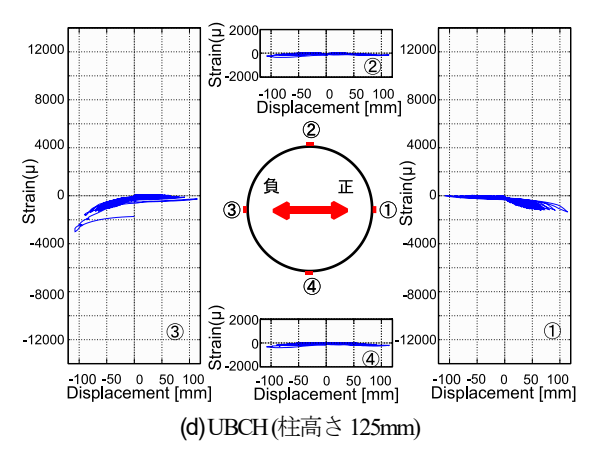
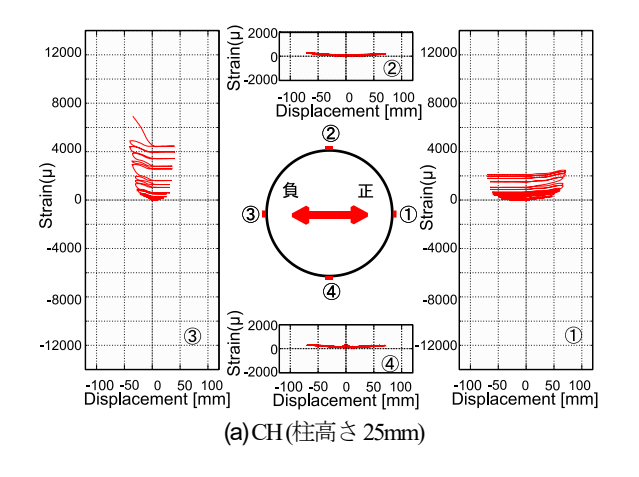
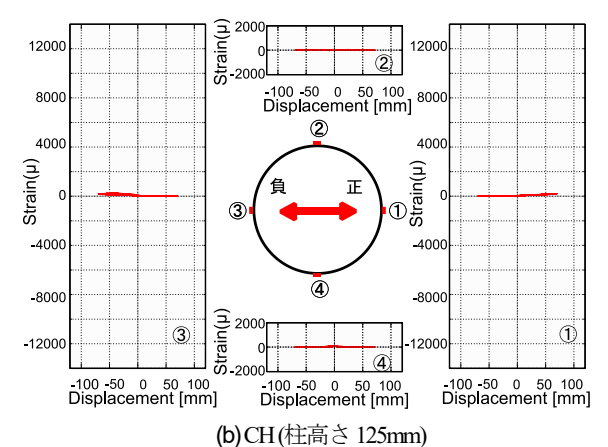
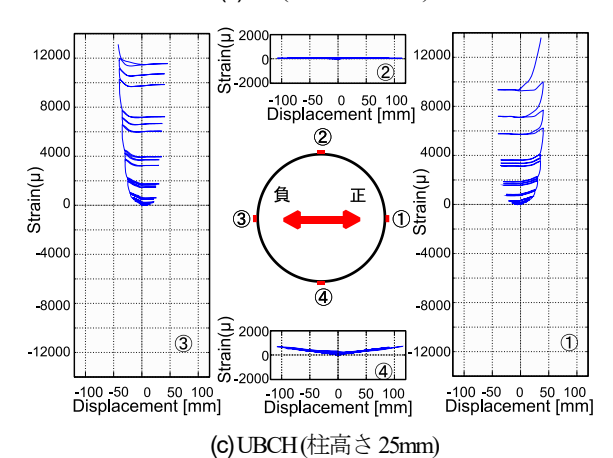


図-11 鋼管の鉛直方向ひずみ(引張:正)







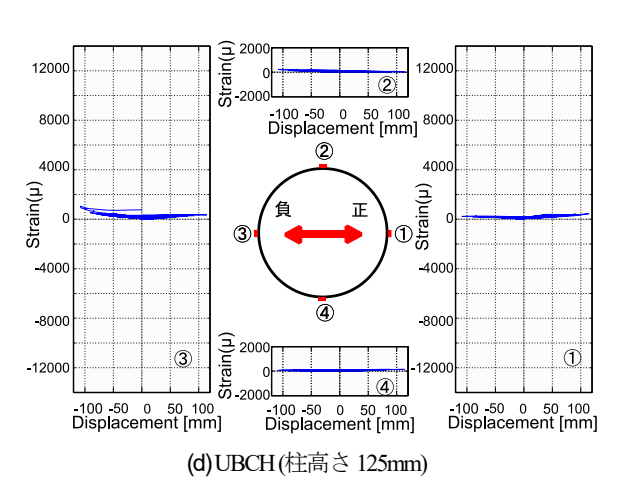


図-12 鋼管の周長方向ひずみ(引張:正)

め、4.(3) で述べた鋼管の縁とフーチング上面が接触することで生じた鋼管のひずみ増大、および上述した鋼管の座屈の影響は小さく、鋼管で拘束することで、内部のコンクリートヒンジの顕著な損傷が防止されたと判断できる.

(5) 鋼管の座屈が柱の鉛直変位に与えた影響

4.(4)で述べたように, CH および UBCH では, 鋼管下 端付近での鋼管の座屈が確認されたため、鋼管の座屈に より、柱に軸沈下が生じている可能性が考えられる. 柱 の軸沈下が顕著であると、地震後の復旧性を低下させる 恐れがあるため、本項では、鋼管の座屈が柱の鉛直変位 に与えた影響について考察する. 図-14 に, CH および UBCH における水平変位一鉛直変位関係を示す. なお図 -14 における鉛直変位は、軸力載荷位置である柱天端の 変位を示している. 図より, 両供試体ともに, 水平変位 0mm の位置で鉛直変位が元の値の戻っていることから、 地震後の復旧性に影響を与えるような軸沈下は発生して いないことがわかる. また, UBCH において, 水平変位 の正負で鉛直変位の値の傾向が異なっているのは、鋼管 の座屈による影響であると考えられるが、水平変位 0mm で鉛直変位が元の値に戻っていることから、復旧 性に与える影響は小さいといえる.

以上から、CH および UBCH では、4.(4)で述べた鋼管 の座屈による鉛直方向の軸沈下は発生しておらず、本構造における鋼管座屈が復旧性に与える影響は小さいことがわかった。



図-13 実験終了時における UBCH における鋼管および鋼管内部のコンクリートの損傷状況(鋼管を一部除去)

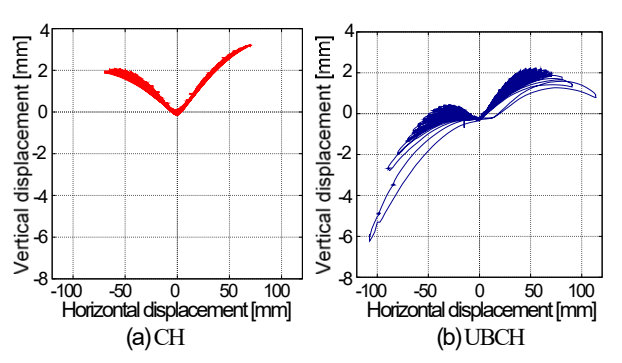


図-14 水平変位-鉛直変位関係

(6) 鋼管拘束コンクリートヒンジ底面とフーチング上 面の損傷状況

載荷終了後,両供試体の柱部分をフーチングから取り外し,鋼管拘束コンクリートヒンジ底面とフーチング上面の観察を行った.それぞれの様子を図-15に示す.図より,両供試体ともに鋼管拘束コンクリートヒンジ底面では,大きな損傷は確認されなかった.一方,フーチング上面に関しては,鋼管拘束コンクリートヒンジの縁との接触部で一部コンクリートが粉状になっていたものの,フーチング上面のひび割れやせん断キーによる支圧破壊など,大きな損傷は見られなかった.よって,鋼管で拘束することで,コンクリートヒンジの底面における顕著な損傷が防止され,UBCHにおける安定したセルフセンタリング機構の維持および 0.2 G 水平力相当の復元力発揮に繋がったといえる.

5. 鋼管拘束コンクリートヒンジに対する正負交 番載荷実験の再現解析

(1) 既往の研究

鋼管拘束コンクリートヒンジのように、作用軸力とコンクリートの圧縮反力との釣り合いで復元力を発揮する構造に対する理論式や解析モデルは、これまでにいくつか提案されている。例えば、Leonhardt and Reinmann M- φ 関係を算出し、圧縮力の影響範囲 s において φ が一定であ



(a) 鋼管拘束コンクリート (b) フーチング上面(CH) ヒンジ底面(CH)





(c) 鋼管拘束コンクリート (d) フーチング上面(UBCH) ヒンジ底面(UBCH)

図-15 鋼管拘束コンクリートヒンジ底面とフーチング上面の 損傷状況 (赤丸はコンクリートが粉状になっていた部 分)

ると仮定 (θ = φs) することで、圧縮軸力と曲げを受けるコンクリート継手の M- θ 関係を理論的に導出している。その際、圧縮力の影響範囲 s は継手部の幅と同程度としてよいと述べている。一方で、鉄道構造物等設計標準・同解説一シールドトンネル 15 では、Leonhardt and Reinmann 14 の手法における圧縮力の影響範囲 s を、継手断面の圧縮縁から中立軸までの距離の 2 倍と仮定している。

また筆者ら¹¹⁾は、Leonhardt and Reinmann¹⁴⁾と鉄道構造物 等設計標準・同解説 - シールドトンネル 15の手法を応用 し、コンクリートヒンジの一種であるメナーゼヒンジの $M-\theta$ 関係を算定している。PC梁と柱部の接合部 16 やロッ キング式セルフセンタリング橋脚 17 の M- θ 関係を算定す る際にも、Leonhardt and Reinmann¹⁴と同様の手法が用いら れており、それらの検討では、圧縮力の影響範囲に相当 する値を、「接合部での軸方向鉄筋の引き抜け量の2倍」 や「橋脚基部の塑性ヒンジ長」とみなしている. 以上か ら、上記構造と同様に、鋼管拘束コンクリートヒンジの 復元力特性を断面解析により算定する際は、変形が集中 する基部に発生する圧縮力の影響範囲の設定が重要とな ると考えられる. しかし, 圧縮力の影響範囲の適切な値 は、対象とする構造によっても変化するため、対象とす る鋼管拘束コンクリートヒンジに応じた, 適切な圧縮力 の影響範囲を設定する必要があるといえる.

また、プレキャストセグメント型のロッキング式セル フセンタリング橋脚に対し、セグメント同士の接触面の 目開きを引張応力がゼロとなるコンクリート材料モデル を用いて再現することで、ファイバー要素によりモデル 化している検討も存在する¹⁸. その他にも、Wangら^{19,20}) は、プレキャストセグメントで構成されたセルフセンタ リング橋脚をファイバー要素によりモデル化する際, セ グメント同士の接触面を、Zhao and Sritharan²¹⁾が提案した Zero-length section element でモデルしている. Zero-length section element は、同じ座標上に位置する節点をつなぐ要素 であり、要素の軸変位・回転が断面の軸ひずみ・曲率と 等しいと仮定して計算を行う要素モデルである. すなわ ち, Zero-length section element では、モデル上では長さの ない要素であるが、計算上は、要素長は単位長さとして 処理している. 一方で、接触面に変形が集中する構造を ファイバー要素によりモデル化する際は、ファイバーモ デルの要素長が、上述した圧縮力の影響範囲と同様の位 置づけとなると考えられる. そのため、対象構造の特性 に応じて、変形が集中する部分におけるファイバーモデ ルの要素長を、適切に設定する必要があるといえる.

(2) 本検討で用いる解析モデルについて

本研究で用いる解析モデルの概略図を**図-16** に示す. 本研究では、鋼管拘束コンクリートヒンジ部および高強 度芯材部をファイバー要素でモデル化し、鋼管拘束コン クリートヒンジ底面とフーチング上面の接触面は、Wang ら ^{19,20)}の検討に倣い、Zero-length section element ²¹⁾でモデル化した。Zero-length section element は本来、ファイバーモデルにおける軸方向鉄筋の付着すべりをモデル化する際に、柱部とフーチング部の境界に用いられる。そのため本検討では、軸方向鉄筋を有さない鋼管拘束コンクリートヒンジへの Zero-length section element の適用可能性を検証する。また、5.(1)で述べたように、接触面に変形が集中する構造をファイバー要素によりモデル化する際は、接触面にあたる要素に適切な要素長を設定する必要がある。そこで本検討では、計算上は要素長が単位長さとして処理される Zero-length section element をコンクリートヒンジ下端に用いる妥当性についても考察する。

また、材料モデルについては、コンクリートの材料モデルに、最大圧縮応力を示すまでの骨格曲線として Hognestad ら ²⁰が提案したモデルを採用した(図-17). なお本検討では、より簡易的なモデルでの実験結果の再現を試みることを目的として、予測が困難な最大圧縮以降の軟化を考慮しないモデルとした. その際、コンクリートの最大圧縮応力、およびそのときの圧縮ひずみは、複合構造標準示方書設計編 ²³で採用されている以下の式を用いて、鋼管の拘束効果を考慮した.

$$f'_{cc} = f'_{c} \left(2.254 \sqrt{1 + \frac{7.94f'_{1}}{f'_{ck}}} - \frac{2f'_{1}}{f'_{ck}} - 1.254 \right)$$
 (1)

$$\varepsilon'_{cc} = 0.002 \left\{ 1 + 5 \left(\frac{f'_{cc}}{f'_c} \right) \right\} \tag{2}$$

ここに、 f'_{cc} は鋼管に拘束されたコンクリートの最大圧縮応力度、 ϵ'_{cc} は鋼管に拘束されたコンクリートの最大圧縮強度時のひずみ、 f'_{ck} はコンクリートの圧縮強度、 f'_{ck} はコンクリートの圧縮強度の特性値である。 f'_{1} は 鋼管による拘束応力度であり、以下の式で算出される.

$$f'_{1} = \frac{2 \cdot t \cdot \alpha \cdot f_{sy}}{D - 2t} \tag{3}$$

ここに、Dは鋼管外径、tは鋼管厚、 f_{sy} は鋼管の降伏強度である。 α は Mises の降伏条件を考慮した係数であり、本検討では鋼管端部の固定がなく、鋼管に引張応力が作用しないため、 $\alpha=0.19$ とした。 コンクリートの除荷・再載荷時の挙動は、履歴を描かない簡易的なモデルとして、Karsan and Jirsa²⁴が提案したモデルを採用した。

鋼管の応力は Zero-length section element では考慮せず、 柱部の断面においてのみ考慮した. 芯材については、円 形断面のファイバー要素でモデル化し、材料特性は完全 弾塑性バイリニアとした. また、柱高さ 320mm 以上の 柱部は、実験供試体同様、RC 断面としてモデル化した.

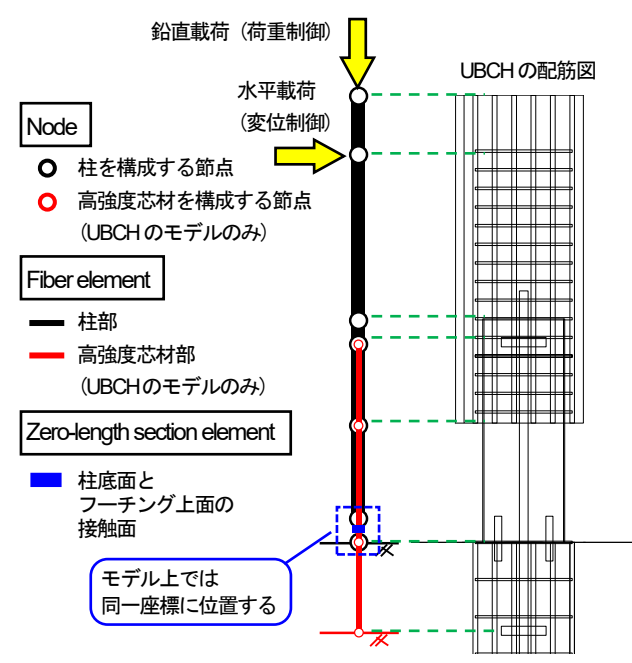


図-16 本検討で用いる解析モデル

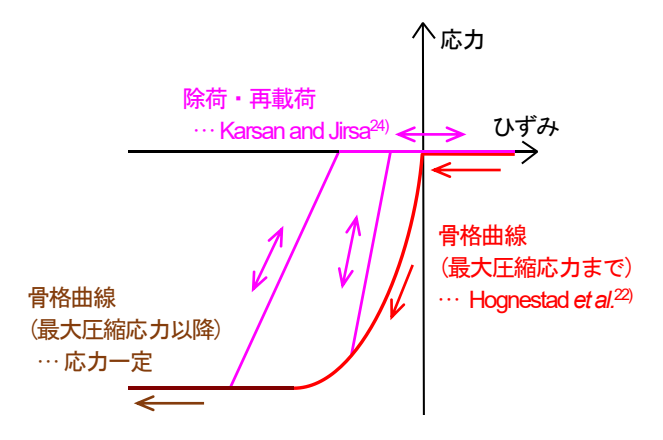


図-17 本解析で用いたコンクリートの材料モデル(引張:正)

拘束条件は、柱部下端および芯材下端を固定とした.ここで、UBCHにおける芯材は、鋼管内部のコンクリートに埋め込まれたシース菅内部に配置されているため、水平方向の変形が鋼管拘束コンクリートヒンジの挙動に拘束される.この挙動を解析的に表現するため、芯材の各節点には、水平変位が同じ高さの鋼管拘束コンクリートヒンジ部の節点に追従するような拘束条件を与えた.

なお解析には、汎用構造解析プログラム OpenSees ²⁵⁾を用い、幾何学的非線形を考慮した解析を行った.

(3) 解析結果

図-18 に数値解析により算出された荷重一変位関係を示す. 図-18より、CHの荷重一変位関係における履歴面積が過小となっていることがわかる. ここで、過去のロッキング型のセンタリング橋脚に対する実験的研究 ²⁰において、橋脚下端の損傷が軽微な場合は、概ね非線形弾性のような履歴を描くのに対し、橋脚下端のコンクリー

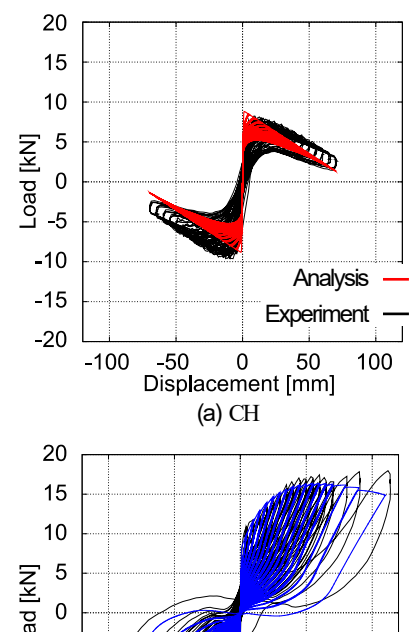
ト部の損傷が顕著になると,履歴面積が増大する様子が確認されている. 4.(6)で述べたように,本実験においては,鋼管下端でコンクリートの顕著な損傷は確認されなかったが,鋼管拘束コンクリートヒンジの縁とフーチング上面との接触部で一部コンクリートが粉状になっている様子が確認されていることから,実際は接触面のコンクリートの損傷によって,荷重一変位関係の履歴面積が増加していた可能性が考えられる. そのため,接触面のコンクリートを除荷時に履歴を描かない簡易的な履歴モデルでモデル化したことで,コンクリートの損傷が再現されなかったことが,CHにおける荷重一変位関係の履歴面積を過少に算出した要因である可能性が考えられる.

しかしその一方で、荷重一変位関係の包絡線を見ると (図-19)、CH および UBCH ともに、実験結果における荷重一変位関係の骨格曲線は精度よく再現できているといえる。また、UBCH におけるアンボンド高強度芯材の軸力ー柱変位関係 (図-20) についても、実験結果と良い一致を示している。そのため、最大圧縮応力以降の軟化を示さず、除荷時に履歴を描かない簡易的な履歴モデルをコンクリートの材料モデルに用いたとしても、荷重一変位関係の包絡線および芯材の軸力ー柱変位関係の再現は可能であるといえる。

なお、図-20 より、アンボンド高強度芯材の軸力-柱変位関係が履歴を描いているが、これは、芯材が塑性化しているのではなく、コンクリートの材料非線形性により、芯材の軸力と柱変位が線形関係でなくなったためである。そのため、本数値解析で確認された CH およびUBCH における荷重変位関係でのエネルギー吸収はコンクリートによるものである。また本検討では、材料モデルにおいて応力の繰返し劣化を考慮していないにも関わらず、荷重一変位関係において、荷重のわずかな繰返し劣化挙動が確認できる。これは、コンクリートに発生する圧縮ひずみが同等であっても、材料モデルにおける骨格曲線上の応力を示すか、除荷・再載荷時の応力を示すかで発生する応力が異なるため、同一振幅における1回目の載荷と2回目以降の載荷で、断面の応力性状が変化し、柱が示す荷重がわずかに異なったためである。

(4) 鋼管拘束コンクリートヒンジ底面への Zero-length section element の適用可能性について

5.(3)で述べた結果から、本来は RC 柱構造における柱部とフーチング部との境界での軸方向鉄筋の付着すべりをモデル化する際に用いられる Zero-length section elementを、軸方向鉄筋を有さない鋼管拘束コンクリートヒンジの底面に用いたとしても、実験結果を概ね再現可能であることがわかった。また、本解析モデルでは、鋼管拘束コンクリートヒンジの底面の要素長は、計算上、単位長さとして処理されていたが、それに関しても問題はなか



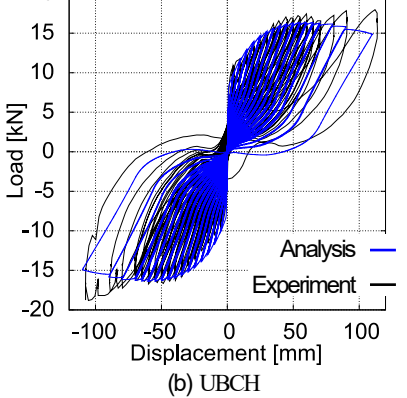


図-18 数値解析により算出された荷重-変位関係

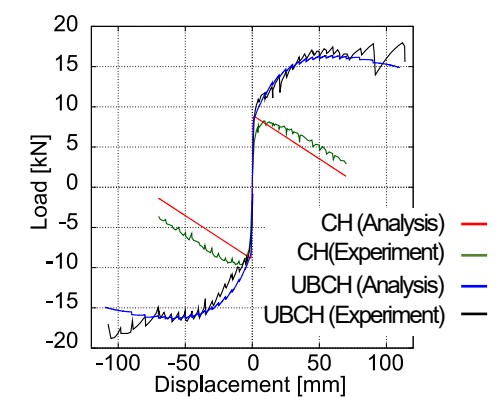


図-19 数値解析により算出された荷重-変位関係の包絡線

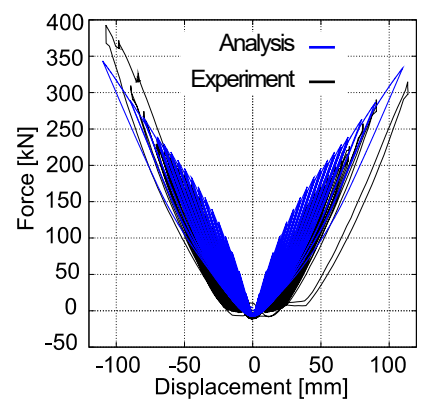


図-20 数値解析により算出された UBCH におけるアンボンド高強度芯材の軸力ー柱変位関係

ったといえる. これは、Zero-length section element を用いたとしても、本構造における鋼管拘束コンクリートヒンジ底面とフーチング上面間に作用する圧縮力の影響範囲が適切にモデル化されたためであると考えられる.

以上から、鋼管拘束コンクリートヒンジに求める復元 力が確保されているかや、芯材の変形が弾性域に留まる かなど、復旧時の鋼管拘束コンクリートヒンジの保有性 能に関わる照査を、設計時に予測が困難なコンクリート ヒンジ下端の損傷を考慮する必要はなく、簡易的なモデ ルを用いて実施可能であることがわかった.

6. 鋼管拘束コンクリートヒンジを埋め込んだ RC 柱に対する正負交番載荷実験の概要

(1) 実験供試体

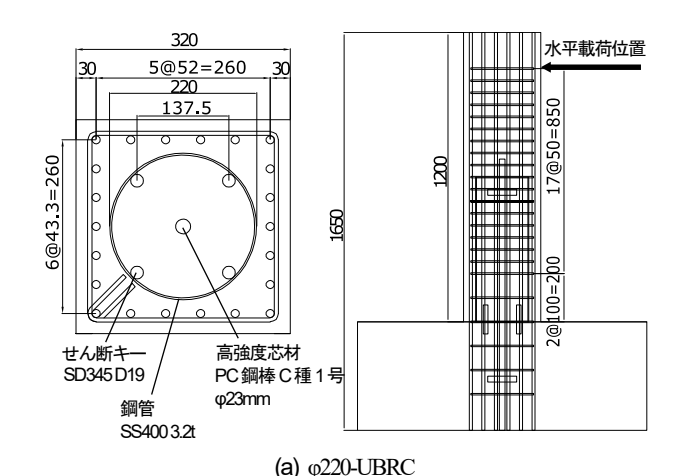
本章での検討では、鋼管拘束コンクリートヒンジを埋め込んだRC柱である φ220-UBRC を製作した. なお、埋め込む鋼管拘束コンクリートヒンジには、復旧時のセルフセンタリング機構および 0.2G 程度の復元力を期待しており、3.および4.で検討した UBCH と同様の構造を採用した. また、2.(2)で述べたように、鋼管底面は柱高さ0mmの位置と一致させ、鋼管とRC柱は鋼管上端のみで結合し、鋼管とRC柱の付着補強は行っていない. なお、鋼管上端部は、CHおよび UBCH と同じく図-5 に示すように軸方向鉄筋と接合した.

図-21(a)にφ220-UBRCの断面図および配筋図を示す. 断面は一辺が 320mm の正方形であり, 載荷点の高さは 1050mm, フーチングの厚さは 450mm である. 軸方向鉄筋比は 2.72%である. コンクリートには, セメントが早強ポルトランドセメント, スランプ 18cm, 粗骨材の最大寸法 15mm のものを用いた. コンクリートの圧縮強度は, テストピースによる材料試験の結果, 26.2MPa であった. また, 使用した鉄筋の材料特性を表-2 に示す.

また、石橋らのが提案した内巻きスパイラル構造において、ID 区間に直角フックを有する帯鉄筋を疎に配筋することで、軸方向鉄筋の座屈長を長くし、座屈後の鉄筋破断を抑制する手法を提案している。本構造においても、この手法に倣い、帯鉄筋の配筋については、柱高さ0mm から 200mm までの区間で 100mm 間隔、柱高さ

200mm 以上の区間で 50mm 間隔とした. また, 柱高さ 100mm の帯鉄筋のみ 90°フックを有する帯鉄筋を使用し, それ以外は 135°フックを有する帯鉄筋を使用した.

なお φ220-UBRC は、筆者らが過去に実施した実験 50 標準供試体 C50-ST と軸方向鉄筋比が同一となっている (図-21 (b)). この C50-ST は、軸方向鉄筋の座屈による曲 げ破壊で終局を迎えるよう設計された RC 柱供試体である. そこで本論文では、適宜 C50-ST の正負交番載荷実験結果と比較しながら、実験結果の考察を行っていく. なお、C50-ST においても、セメントが早強ポルトランドセメント、スランプ18cm、粗骨材の最大寸法15mmのコンクリートが使用されており、コンクリートの圧縮強度は、テストピースによる材料試験の結果、33.3MPaで



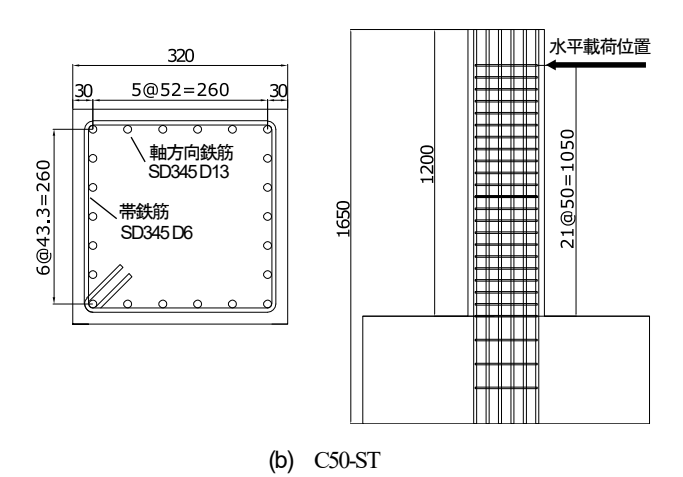


図-21 実験供試体の断面図および配筋図 (Unit [mm])

表-2 鉄筋の材料特性

供試体	用途	径	鋼種	降伏点(N/mm²)	引張強度(N/mm²)	弾性係数(N/mm²)
C50-ST	帯鉄筋	D6	SD345	454.7	620.2	2.056×10 ⁵
	軸方向鉄筋	D13	SD345	390.5	580.0	1.951×10 ⁵
φ220-UBRC	帯鉄筋	D6	SD345	413.9	592.7	2.012×10 ⁵
	軸方向鉄筋	D13	SD345	405.9	580.4	1.980×10 ⁵

あった. また,使用した鉄筋の材料特性は**表-2**に示す通りである.

(2) 載荷方法

本実験では、筆者らが過去に実施した C50-ST に対する正負交番載荷実験と同様の載荷方法を採用した. 具体的には、正負交番漸増で載荷を行い、軸方向鉄筋の降伏変位 δ_{ν} (=5.0mm)を基準として、その整数倍の変位振幅での繰り返し載荷を行った. 載荷回数は、繰り返し回数を3回とした. また載荷軸応力は 0.98MPa (載荷軸力 = 100kN)とした.

(3) 測定データ

供試体の各変形状態における復元力を得るため、アクチュエータに設置されているロードセルにより供試体の 載荷位置における復元力および軸力を測定し、供試体の 載荷位置における水平変位を計測するため、供試体の載 荷位置にワイヤ式変位計を設置した.また、各種鋼材の ひずみをひずみゲージにより測定した.

7. 鋼管拘束コンクリートヒンジを埋め込んだ RC 柱に対する正負交番載荷実験の結果と考察

(1) 荷重一変位関係

a) C50-ST

軸方向鉄筋座屈発生前までは履歴ループが紡錘型になっており、典型的な曲げ挙動を示している(図-22 (a)). 変位振幅 30mm および 35mm の時に軸方向鉄筋の座屈が発生し、荷重低下が見られた. 荷重は正負共に変位振幅 20mmの1サイクル目で最大となり、正最大荷重は154kN、負最大荷重は-140kN、平均すると 147kN であった.

b) φ220-UBRC

変位振幅 20mm までは、C50-ST と同傾向の復元力特性を示し、正最大荷重は131kN、負最大荷重は-136kN、平均すると133.5kNであった(図-22 (b)). そして、変位振幅30mm 以降になると、履歴ループにおいて逆 S 字型形状の傾向が強くなっていき、C50-ST に比べて履歴吸収エネルギーが減少していった。その間、C50-ST で確認された軸方向鉄筋の座屈は発生せず、荷重低下も確認されなかった。ここで、φ220-UBRCでの履歴吸収エネルギーの低下が地震時の応答に与える影響を把握するため、C50-ST およびφ220-UBRC の変位振幅 40mm の1 サイクル目における等価減衰定数を算出し、その値を用いて、減衰による応答スペクトルの低減率(式(4))を算出した.

$$S_d(h)/S_d(h=0) = \frac{1}{1+10h}$$
 (4)

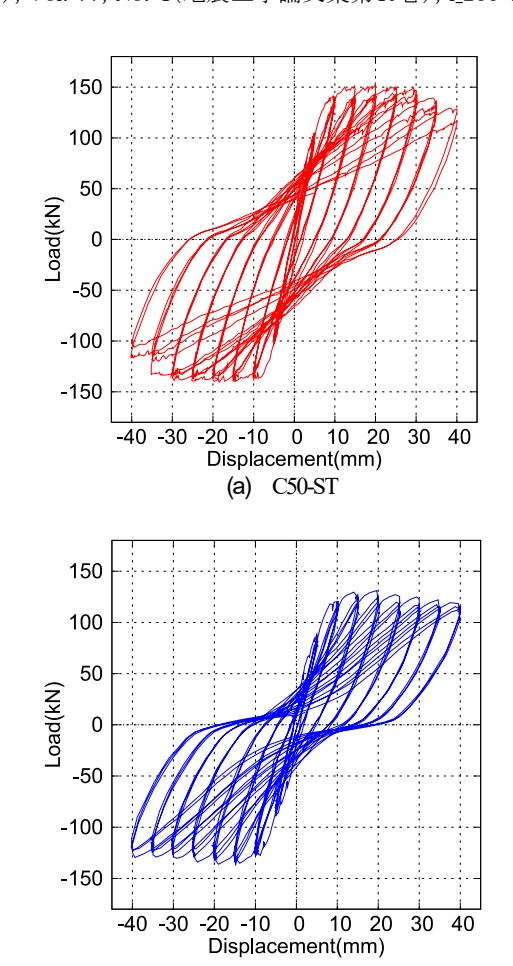


図-22 C50-ST および φ220-UBRC における荷重 - 変位関係

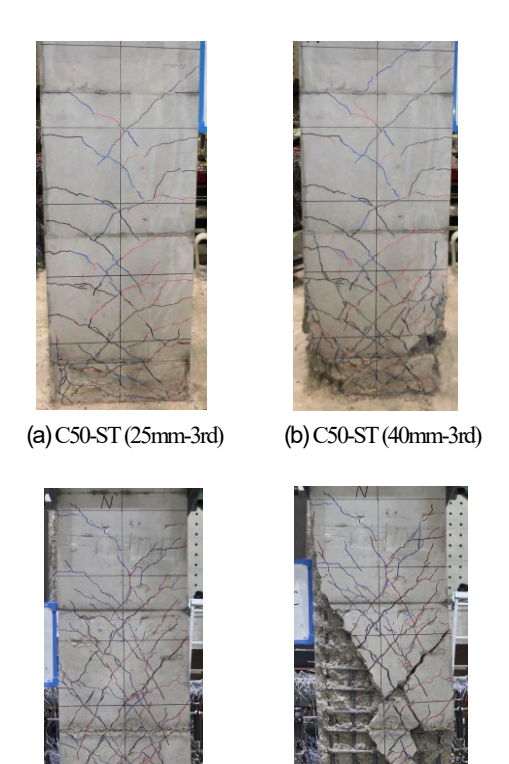
(b) φ220-UBRC

ここに、h は減衰定数, $S_a(h)$ は減衰定数がh の場合の変位応答スペクトルである.その結果,等価減衰定数は C50-ST で 0.198, φ 220-UBRC で 0.126 であり,減衰による 応答スペクトルの低減率は,C50-ST で 0.336, φ 220-UBRC で 0.442 であった.よって,概算ではあるが, φ 220-UBRC で確認されたエネルギー吸収能低下により,地震時の変位応答が 10%程度増大する可能性があるといえる.

(2) 鋼管拘束コンクリートヒンジの配置が柱のひび割れ性状に与えた影響

図-23 に各供試体の変位振幅 25mm, 40mm における載荷側面のひび割れ性状を示す. 図より, φ220-UBRCでは, C50-ST と比較して多数の斜めひび割れが確認され,変位振幅の増大に伴って,柱の損傷が進行していった.

ここで、φ220-UBRCで斜めひび割れが多数発生した要因は以下のように推測できる。6.(1) で述べたように、φ220-UBRCでは、RC 柱が剛体変形しないよう、鋼管拘束コンクリートヒンジと周囲コンクリートの付着補強は行っていない。その結果、柱高さ 0mm の位置に変形が集中することなく、ひび割れは柱高さ方向に分散させる



(c) φ220-UBRC (25mm-3rd) (d) φ220-UBRC (40mm-3rd) 図-23 載荷側面のひび割れ性状

ことができたが、その反面、鋼管拘束コンクリートヒンジとRC柱が分離して挙動したことで、RC柱部のコンクリートがせん断力に抵抗する断面積が減少し、せん断耐力のコンクリート負担分が減少した可能性が考えられる。事実、山本ら²⁷⁾が行った RC 巻立て補強を施した RC 部材に対する正負交番載荷実験において、既設部・巻立て部間の付着がある供試体では曲げ破壊が発生したのに対し、付着がない供試体では、既設部と巻立て部の間でせん断力の伝達が行われにくくなることで、曲げせん断破壊が発生したという結果が得られている。

そこで、図-24 に変位振幅 15mm 時の各柱高さにおける鋼管と軸方向鉄筋のひずみを縦軸に、断面高さを横軸に取ったグラフを示す。鋼管および内部コンクリートとRC 柱が一体となって動いている場合、平面保持の仮定が成立し、図では、鉄筋のひずみから算出できる断面のひずみ分布上に鋼管のひずみがプロットされると考えられる。しかし φ220-UBRC では、鋼管ひずみが平面保持成立時のひずみよりも小さい値となっていることがわかる。よって、φ220-UBRC では、RC 柱部と鋼管拘束コンクリートヒンジが分離して挙動していると判断できる。

ここで、各供試体の RC 柱部のせん断耐力のコンクリート負担分を、コンクリート標準示方書 [設計編]²⁸⁾の規定式を用いて算出した。その結果、全断面でせん断力に抵抗できる C50-ST ではせん断耐力のコンクリート負担

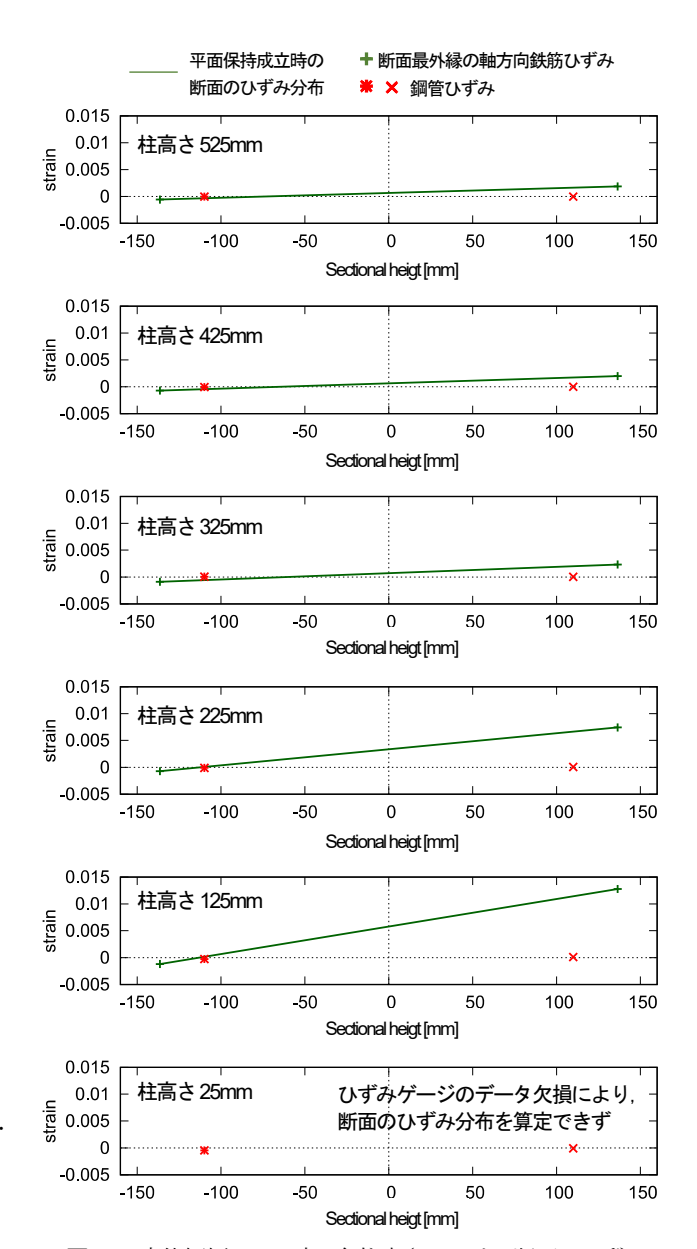


図-24 変位振幅 15mm 時の各柱高さにおける断面のひずみ

分は 99.15kN であったのに対し、φ220-UBRC では、鋼管 拘束コンクリートヒンジの断面積を差し引いた場合、 35.98kN となることがわかった. 以上のように、φ220-UBRC では、RC柱部の断面積減少により RC柱部のせん 断耐力のコンクリート負担分が大幅に減少しており、これが φ220-UBRC で顕著なせん断ひび割れが多数発生した要因である可能性が考えられる.

(3) 鋼管拘束コンクリートヒンジが帯鉄筋ひずみに与えた影響

図-25 に、各供試体の帯鉄筋ひずみの高さ方向分布を示す。図より、C50-ST では、帯鉄筋ひずみが弾性域に留まっているのに対し、φ220-UBRCで帯鉄筋の塑性化が確認できる。これは、φ220-UBRCにおけるせん断耐力のコンクリート負担分の減少により、顕著なせん断ひび割

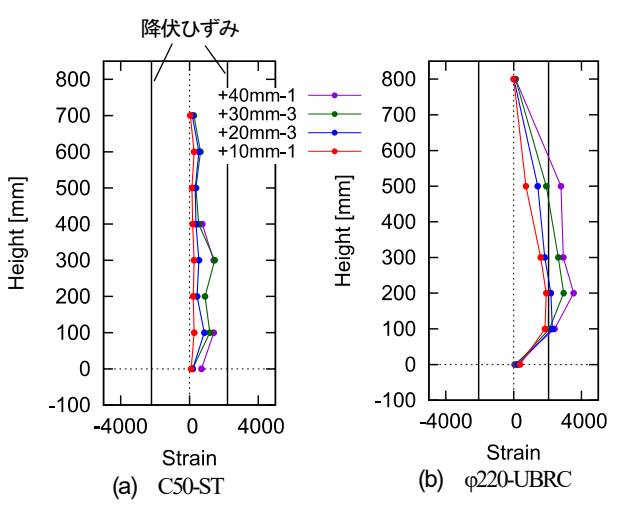


図-25 帯鉄筋ひずみの高さ方向分布

れが多数発生し、その結果、帯鉄筋への負荷が増加したことが原因である可能性が考えられる.

7.(1) b)で述べたように、φ220-UBRCでは、履歴ループ 形状が逆 S 字型形状であった点や、軸方向鉄筋の座屈が 確認されなかった点など、C50-ST と異なる傾向が表れた. これは、顕著なせん断ひび割れの発生および帯鉄筋 の降伏により、C50-ST に比べて柱の変形に占めるせん 断変形成分が大きかったためであるといえる. RC 柱の変形に占めるせん断変形成分の増加は、地震時の RC 柱の挙動の不確定性に繋がる恐れがある. そのため、鋼管 拘束コンクリートヒンジを RC 柱断面に配置する際は、RC 柱のせん断耐力の減少を鋼管拘束コンクリートとンジ直径に応じて考慮し、せん断耐力のコンクリート負担分の減少により帯鉄筋の降伏が発生しないよう、高強度のコンクリート材料を使用したり、せん断補強筋量を増大させる等の配慮が必要であると考えられる.

(4) 鋼管拘束コンクリートヒンジの配置による RC 柱の 荷重低下改善メカニズム

一般的に、RC 柱に顕著なせん断ひび割れが発生し、 帯鉄筋が降伏すると、急激な荷重低下を伴う脆性的な破壊が生じるため、好ましくないとされている。しかし φ220-UBRCでは、載荷振幅 25mm 以降、顕著なせん断ひ び割れが発生し、帯鉄筋の降伏が確認されたにもかかわ らず荷重が低下せず、変位振幅 40mm となっても最大荷 重を維持していた。

ここで、載荷終了後に取り出した、鋼管拘束コンクリートヒンジの様子を図-26 に示す。図のように、基部で鋼管の座屈が発生しているものの、RC 柱で発生したせん断ひび割れは、鋼管内部のコンクリートには進展しておらず、鋼管拘束コンクリートヒンジは載荷終了時まで大きな損傷なく残存していたことがわかる。以上から、せん断ひび割れにより RC 柱部の損傷が進行した際も、



図-26 載荷終了後の取り出した鋼管拘束コンクリートヒンジ

柱内部に埋め込んだ鋼管拘束コンクリートヒンジによりせん断抵抗力を維持できていたと考えられる.また φ220-UBRCでは、鋼管拘束コンクリートヒンジが十分な圧縮力を受け持つことができる健全な状態で残存していたのに加え、軸方向鉄筋の座屈が発生しなかったため、引張部材も健全な状態で残存していた.以上の要因により、φ220-UBRCでは変位振幅 40mm に至るまで、荷重低下が発生しなかったと考えられる.

なお、C50-ST と φ220-UBRC との最大荷重に差異が生じたのは、鋼管拘束コンクリートヒンジを柱内部に埋め込んだ影響であると考えられる. しかし、その詳細な理由については解明には至らず、今後の課題とする.

(5) 鋼管拘束コンクリートヒンジに配置した高強度芯 材の挙動について

アンボンド高強度芯材のひずみの高さ方向分布を**図-27**に示す. 図より, UBCHと同様, 芯材をアンボンド化したことにより, 芯材のひずみが高さ方向に平滑化されてていることがわかる.

また図-28 に、φ220-UBRC の鋼管拘束コンクリートヒンジ内に配置した高強度芯材の軸力ー柱変位関係を示す. なお図中では、比較としてUBCHにおける高強度芯材の結果を併せて示している。図より、φ220-UBRCの高強度芯材は、UBCHにおける高強度芯材より 20kN 程度大きな軸力を示していたことがわかる。これは、φ220-UBRCでは、鋼管拘束コンクリートヒンジの周囲に RC 断面部が存在することで、UBCHよりも断面高さが増加し、高強度芯材ひずみが大きくなったことが要因であると考えられる。しかしながら、高強度芯材の軸力ー柱変位関係の傾向は φ220-UBRC と UBCHとで大きな差異はなく、φ220-UBRCにおいても、高強度芯材によって安定した軸力が鋼管拘束コンクリートヒンジに作用していたと判断できる。

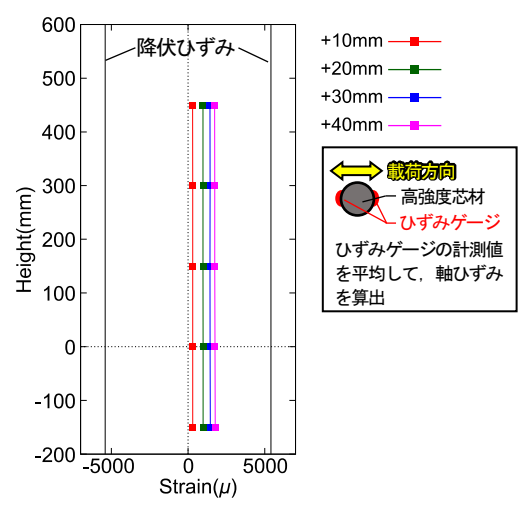


図-27 φ220-UBRC における高強度芯材のひずみの高さ方向 分布

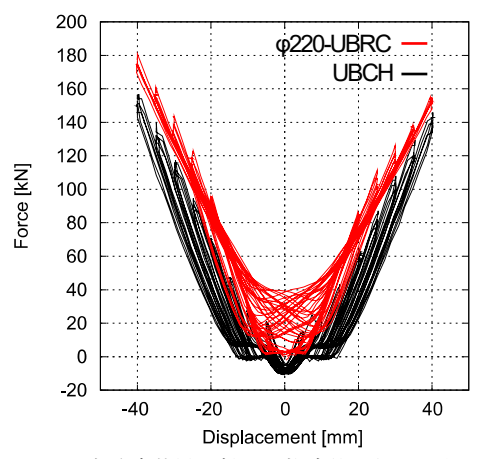


図-28 高強度芯材の軸力-柱変位関係(引張:正)

(6) 本章のまとめ

6.(1)で述べたように、φ220-UBRCでは、柱内部に配置した鋼管に引張力が伝達しないよう、鋼管拘束コンクリート底面を柱高さ 0mm の位置と一致させるとともに、鋼管と RC 柱部との付着補強を施さなかった.実験ではこの効果が確認され、鋼管の損傷を軽減させることができた。また本実験では、設計時の段階で、7.(2)で示したような φ220-UBRC における顕著なせん断ひび割れの発生は想定していなかった。しかしながら、7.(3)で述べたように、内部の鋼管拘束コンクリートヒンジは、大きな損傷なく残存していたことが確認できており、柱の最大荷重の維持にも寄与していたと考えられる。

さらに、7.(5)で述べたように、鋼管拘束コンクリートヒンジ内部に配置したアンボンド高強度芯材に関しても、ひずみが高さ方向に平滑化されて変形が弾性域に留まっていた上、UBCHに配置した高強度芯材と同傾向の軸力ー柱変位関係を示し、設計時の想定通りの挙動をしていたことがわかった。以上から、セルフセンタリング機構、および単体で 0.2 G 水平力相当の復元力を有した鋼管拘

東コンクリートヒンジは、RC 柱内部で確実に機能を維持できていたと判断できる.

よって、地震後に柱基部のコンクリートおよび軸方向 鉄筋を撤去し、鋼管拘束コンクリートヒンジを露出させ ることで、セルフセンタリング機構を発現させるととも に、余震相当の地震動に抵抗することが可能であると考 えられる。そのため、より大変形領域での提案構造の保 有性能の確認や、軸方向鉄筋やコンクリートの撤去に伴 う鋼管拘束コンクリートヒンジのセルフセンタリング機 構発現の検証が今後必要があるものの、本提案構造を適 用することにより、RC 柱の地震後の復旧性向上を実現 できる可能性は十分にあるといえる。

また, 5.で示したように, 鋼管拘束コンクリートヒンジは, ファイバーモデルを用いてモデル化できるため, RC 柱のファイバーモデルと組み合わせることで, 鋼管拘束コンクリートヒンジを埋め込んだ RC 柱の曲げ変形挙動を解析的に評価することが可能であるといえる. 本研究における φ220-UBRC では, 柱の変形に占めるせん断変形成分が大きいと判断できたため, ファイバーモデルによる挙動の再現は行わなかったが, 提案構造における柱部のせん断変形を抑制することができれば, 本提案構造の復元力特性等の解析的評価が可能となるといえる.

8. まとめ

本研究では、地震後の復旧性向上を目的として、復旧時の要求性能を実現するコンクリートヒンジ構造を開発し、その構造単体での復元力特性およびその破壊性状の把握にむけた、正負交番載荷実験および数値解析を実施した。その後、開発したコンクリートヒンジを埋め込んだRC柱に対し正負交番載荷実験を実施し、その構造の性能検証を行った。以下に本研究で得られた知見を示す。

- ・ コンクリートヒンジに対する正負交番載荷実験により、コンクリートヒンジ構造の内部に配置したアンボンド高強度芯材は、柱高さ1050mmにおける載荷振幅が100mmに達する変形領域においても弾性域に留まっていた。その際、アンボンド高強度芯材には作用軸力の3倍以上の軸力が生じており、コンクリートヒンジ底面における圧縮反力を増加させ、コンクリートヒンジの復元力を増加させていることがわかった。
- コンクリートヒンジに対する正負交番載荷実験により、アンボンド高強度芯材とコンクリートヒンジを組み合わせた構造において、セルフセンタリング機構および0.2G水平力程度の復元力が実現されることがわかった.
- 正負交番載荷実験の終了後、鋼管拘束コンクリー

トヒンジ底面とフーチング上面との接触面の損傷 状況を確認したところ、コンクリートヒンジに顕 著な損傷は発生していなかった。よって、鋼管で 拘束することで、内部のコンクリートヒンジの顕 著な損傷を防止できることがわかった。

- ファイバーモデルを用いて正負交番載荷実験の再 現解析を実施した結果、柱下端のコンクリートの 損傷をモデル化せずとも、鋼管拘束コンクリート ヒンジに求める 0.2 G 水平力相当の復元力が確保さ れているかや、芯材の変形が弾性域に留まるかに ついての照査が可能であることがわかった.
- 鋼管拘束コンクリートヒンジを埋め込んだRC柱に対し、正負交番載荷実験を実施したところ、従来RC柱では発生しなかったせん断ひび割れが多数発生し、帯鉄筋が塑性化することを確認した.しかし、それに伴う柱の荷重低下は生じず、最大荷重は維持されていた.
- せん断ひび割れの発生および帯鉄筋の塑性化は、 RC 柱部の断面積が鋼管拘束コンクリートヒンジの 断面分減少することで、RC 柱部のせん断耐力が減 少したことが要因である可能性が考えられる. よって、鋼管拘束コンクリートヒンジを RC 柱断面に 配置する際は、RC柱のせん断耐力の減少を、鋼管 拘束コンクリートヒンジ直径に応じて考慮し、高 強度コンクリートを使用したり、せん断補強筋量 を増大させる等の配慮が必要であると考えられる.
- RC 柱内部に埋め込んだコンクリートヒンジの実験 終了時の損傷状況や、コンクリートヒンジ内部の 高強度芯材の挙動から、コンクリートヒンジは RC 柱内部で機能を維持できていたと判断できた.
- より大変形領域での提案構造の保有性能の確認や、軸方向鉄筋やコンクリートの撤去に伴う鋼管拘束コンクリートヒンジのセルフセンタリング機構発現の検証が今後必要があるものの、鋼管拘束コンクリートヒンジをRC柱断面に配置することによるRC柱のせん断耐力の減少を設計時に考慮することで、本提案構造によるRC柱の地震後の復旧性向上を実現できる可能性は十分にあるといえる.

謝辞:本研究の一部は科学研究費補助金基盤研究 (B)18H01522 の助成を受けて実施した. 謝意を表します.

参考文献

- 本田利器, 秋山充良, 片岡正次郎, 高橋良和, 野津厚, 室野剛隆:「危機耐性」を考慮した耐震設計体系-試案 構築にむけての考察-, 土木学会論文集A1, Vol. 72, No. 4, pp. I 459-I 472, 2016.
- 2) 豊岡亮洋,布川博一,小野寺周,室野剛隆:ブロック型倒壊方向制御構造を有するラーメン高架橋柱の

- 静的載荷試験, 土木学会論文集 A1, Vol. 75, No. 4, pp. I 408-I 415, 2019.
- 3) 布川博一,豊岡亮洋,小野寺周,室野剛隆:柱との接触条件をパラメータとしたブロック型倒壊方向制御構造の解析,土木学会論文集 A1, Vol. 75, No. 4, pp. I 520-I 528, 2019.
- 4) 西村隆義,室野剛隆,豊岡亮洋,五十嵐晃:危機耐性を向上させる自重補償機構の大変形時における鉛直支持機能に関する実験的検討,土木学会論文集A1,Vol. 75, No. 4, pp. I_569-I_578, 2019.
- 5) 五島健斗,植村佳大,高橋良和:設計基準外事象に対する挙動が定性的に予測可能な埋め込みメナーゼヒンジRC構造の開発,土木学会論文集A1,Vol. 75,No. 4, pp. I 506-I 519, 2019.
- 6) 石橋忠良, 菅野貴浩, 木野淳一, 小林薫, 小原和宏: 軸方向鉄筋の内側に円形帯鉄筋を配置した鉄筋コンクリート柱の正負交番載荷実験, 土木学会論文集, No. 795/V-68, pp. 95-110, 2005.
- Marriott, D., Pampanin, S. and Palermo, A.: Quasi-static and pseudo-dynamic testing of unbonded post-tensioned rocking bridge piers with external, *Earthquake Engineer*ing and Structural Dynamics, Vol. 38, Issue 3, pp. 331-354, 2009.
- 8) Cheng, C. T.: Shaking table tests of a self-centering designed bridge substructure, *Engineering Structure*, Vol. 30, Issue 12, pp. 3426-3433, 2008.
- 9) 池永昌容,長江拓也,中島正愛,吹田啓一郎:残留変形低減をめざしたセルフセンタリング柱脚の開発と載荷実験,日本建築学会構造系論文集,No. 612,pp. 223-230, 2007.
- 10) 家村浩和, 高橋良和, 曽我部直樹: アンボンド芯材 を活用した高耐震性能 RC 構造の開発, 土木学会論 文集, No. 710/I-60, pp. 283-296, 2002.
- 11) 植村佳大, 高橋良和: ヒンジ部コンクリートがメナーゼヒンジの力学特性に与える影響, 土木学会論文集 A1, Vol. 76, No. 4, pp. I 393-I 408, 2020.
- 12) Schacht, G. and Marx, S.: Concrete hinges in bridge engineering, Proceedings of the Institution of Civil Engineers, *Engineering History and Heritage*, Vol. 168, Issue EH2, pp. 64-74, 2015.
- 13) 藤倉修一, 山口敬也, 野口大智, NGUYEN Minh Hai, 中島章典, 浦川洋介: 断面コア部に CFT を有する SRC 橋脚の耐震性能に関する研究, 土木学会論文集 A1, Vol. 76, No. 4, pp. I_541-I_551, 2020.
- 14) Leonhardt, F. and Reinmann, H.: Betongelenke, *Der-Bauingenieur*, Vol. 41, pp. 49-56, 1966.
- 15) 財団法人鉄道総合技術研究所:鉄道構造物等設計標準・同解説 シールドトンネル, 1997.
- 16) Pampanin, S., Priestley, M. J. N. and Sritharan, S.: Analytical modelling of the seismic behaviour of precast concrete frames designed with ductile connections, *Journal of Earthquake Engineering*, Vol. 5, No. 3, pp. 329-367, 2001.
- 17) Zhanyu, B. and Yuchen, O.: Simplified analytical pushover method for precast segmental concrete bridge columns, *Advances in Structural Engineering*, Vol. 16, No. 5, pp. 805-822, 2013.
- 18) Zhanyu, B., Jian, G., Rongyue, Z., Jianwei, S. and Lee, G. C.: Cyclic performance and simplified pushover analysis of precast segmental concrete bridge columns with circular

- section, Earthquake Engineering and Engineering Vibration, Vol. 15, No. 2, pp. 297-312, 2016.
- 19) Wang, Z., Wang, J. Q. and Liu, T. X.: Axial compression ratio limit for self-centering precast segmental hollow piers, *Structural Concrete*, Vol. 18, Issue 5, pp. 668-679, 2017.
- 20) Wang, Z., Wang, J. Q., Liu, T. X. and Zhang, J.: An explicit analytical model for seismic performance of an unbonded post-tensioned precast segmental rocking hollow pier, *Engineering Structures*, Vol. 161, pp. 176-191, 2018.
- 21) Zhao, J. and Sritharan, S.: Modeling of strain penetration effects in fiber-based analysis of reinforced concrete structures, *ACI structural Journal*, Vol. 104, No. 2, pp. 133-141, 2007
- 22) Hognestad, E., Hanson, N. W. and McHenry, D. :Concrete stress distribution in ultimate strength design, *ACI Journal*, Vol. 52, No. 12, pp. 455-79, 1955.
- 23) 土木学会:複合構造標準示方書-設計編-,2014.
- 24) Karsan, I. D. and Jirsa, J. O.: Behaviour of concrete under

- compressive loadings, *Journal of the Structural Division*, Vol. 95, No. 12, pp. 2543-2563, 1969.
- Open System for Earthquake Engineering Simulation (OpenSees), PEERC, UC Berkeley. http://opensees. berkeley.edu/, 2021.
- 26) Roh, H. and Reinhorn, A. M.: Modeling and seismic response of structures with concrete rocking columns and viscous dampers, *Engineering Structure*, Vol. 32, Issue 8, pp. 2096-2107, 2010.
- 27) 山本貴士,服部篤史,宮川豊章:補強部軸方向プレストレスを有する PC 巻立て補強部材の復元特性,プレストレスコンクリート技術協会 第8回シンポジウム論文集,pp. 297-302, 1998.
- 28) 土木学会: コンクリート標準示方書[設計編], 2017.

(Received November 9, 2020) (Accepted February 13, 2021)

DEVELOPMENT OF CONCRETE HINGE WITH RECOVERY PERFORMANCE AND CYCLIC LOADING TEST ON RC COLUMN WITH THE CONCRETE HINGE

Keita UEMURA, Kento GOTO and Yoshikazu TAKAHASHI

In order to realize anti-catastrophe of bridge structures, the structural technology to ensure the performance for beyond design basis events is required. In this study, a concrete hinge structure with a self-centering function and restoring force equivalent of 0.2 G as recovery performance is proposed, and cyclic loading tests are conducted on RC columns with the proposed concrete hinge. As a result, it was confirmed that the proposed concrete hinge achieved a self-centering function and restoring force equivalent to 0.2 G by a steel pipe confining the concrete hinge and an unbonded high-strength rebar placed in the concrete hinge. It was also shown that the restoring force properties of the concrete hinge can be reproduced by the fiber model. When the structure was embedded in RC columns, a large number of shear cracks were observed in the RC columns. However, load decrease wasn't observed and the function of the concrete hinges inside the RC columns was maintained.